

ПАРАМЕТРИЧЕСКОЕ ВОЗБУЖДЕНИЕ АЛЬФВЕНОВСКИХ ВОЛН

В. В. Пустовалов, А. Б. Ромаков

Предказанная теория параметрического резонанса /1-4/ относительно условий возникновения и проявления параметрически неустойчивых колебаний плазмы подтверждаются экспериментом /5-8/ по возбуждению плазмы мощным излучением. Ряд экспериментальных работ /8-13/ посвящен изучению параметрического резонанса в магнитоактивной плазме. В данном сообщении рассматривается параметрическое возбуждение альфвеновских волн (AB), обязанных своим существованием внешнему постоянному и однородному магнитному полю. Учитывается (см. /14/) конечность длины волны  $\vec{k}_0 \neq 0$  поперечного ( $\vec{k}_0 \vec{E}_0 = 0$ ) поля накачки

$$\vec{E}_0(\vec{r}, t) = \vec{E}_0 \cos(\omega_0 t - \vec{k}_0 \vec{r}) \quad (1)$$

с частотой  $\omega_0 = ck_0$  и волновым вектором  $\vec{k}_0$ . Найдены инкремент, пороговое и критическое поля параметрической раскачки AB, выявлена оптимальная для раскачки геометрия векторов  $\vec{k}$ ,  $\vec{k}_0$ ,  $\vec{E}_0$ ,  $\vec{E}_0 = \vec{h} \nu_0$ .

В работе /15/ найдена диэлектрическая проницаемость  $\tilde{\epsilon}_{1j}(\omega, \vec{k})$  магнитоактивной плазмы в поле накачки (1), использованная в дальнейшем для изучения параметрического возбуждения потенциальных колебаний /16, 17/ и быстрых магнитозвуковых волн /18/. Как и ранее /16-18/, дисперсионное уравнение для AB с частотой  $\omega$  и волновым вектором  $\vec{k}$  можно получить в виде свертки уравнений поля

$$\left[ \tilde{\epsilon}_{1j}(\omega, \vec{x}) - \frac{c^2 k^2}{\omega^2} (\delta_{1j} - \alpha_1 \alpha_j) \right] (E_j E_1)_{\omega, \vec{k}} = 0, \quad (2)$$

в которой  $\vec{x} = \vec{k}/k$  - единичный вектор вдоль распространения AB,  $c$  - скорость света в вакууме, а  $(E_j E_1)_{\omega, \vec{k}}$  - спектральная функ-

ция поля АВ, которую в интересующем нас случае холодной магнито-активной плазмы можно представить в виде

$$\begin{aligned}
 (\mathbf{E}_j \mathbf{E}_1)_{\omega, \mathbf{k}} = & \frac{W(\mathbf{k})}{4\pi^2} \frac{v_A^2}{c^2} \left(1 + \frac{v_A^2}{c^2}\right)^{-1} \left[ \sin^4 \theta + 4 \frac{c^2 k^2}{\omega_{Ld}^2} \left(1 + \frac{v_A^2}{c^2}\right)^{-3} \cos^4 \theta \right]^{-1/2} \times \\
 & \times \delta \left( \omega - kv_A \cos \theta \left(1 + \frac{v_A^2}{c^2}\right)^{-1/2} \right) \left\{ - [\tilde{x}\tilde{h}]_1 [\tilde{x}\tilde{h}]_j + \left[ \frac{\sin^2 \theta}{2} + \frac{1}{2} \left( \sin^4 \theta + \right. \right. \right. \\
 & \left. \left. \left. + 4 \frac{c^2 k^2}{\omega_{Ld}^2} \left(1 + \frac{v_A^2}{c^2}\right)^{-3} \cos^4 \theta \right)^{1/2} \right] (\delta_{1j} - h_1 h_j) - \frac{c^2 k^2}{\omega_{Le}^2} \cos^2 \theta \times \right. \\
 & \left. \times \left[ \frac{\sin^2 \theta}{2} + \frac{1}{2} \left( \sin^4 \theta + 4 \frac{c^2 k^2}{\omega_{Ld}^2} \left(1 + \frac{v_A^2}{c^2}\right)^{-3} \cos^4 \theta \right)^{1/2} \right] \times \right. \\
 & \left. \times (h_1 h_j - z_1 z_j \cos^{-2} \theta) + 1 \frac{ck}{\omega_{Ld}} |\cos \theta|^3 \left(1 + \frac{v_A^2}{c^2}\right)^{-3/2} \epsilon_{1kj} h_k - \right. \\
 & \left. - \frac{c^4 k^4}{\omega_{Ld}^2 \omega_{Le}^2} \cos^6 \theta \left(1 + \frac{v_A^2}{c^2}\right)^{-3} h_1 h_j + 1 \frac{c^3 k^3}{\omega_{Le}^2 \omega_{Ld}} |\cos \theta|^3 \left(1 + \frac{v_A^2}{c^2}\right)^{-3/2} \times \right. \\
 & \left. \times (z_1 [\tilde{x}\tilde{h}]_j - z_j [\tilde{x}\tilde{h}]_1) \right\}. \quad (3)
 \end{aligned}$$

Здесь  $W(\mathbf{k})$  - спектральная плотность энергии АВ,  $\omega_{Ld}$  и  $\omega_{Le}$  - ионная и электронная ленгмювские частоты,  $v_A$  - альфвеновская скорость,  $\theta$  - угол между  $\tilde{\mathbf{z}}$  и  $\tilde{\mathbf{h}}$ .

Будем искать решение уравнения (2) в случае слабой связи АВ с накачкой (I), когда напряженность электрического поля волны накачки такова, что инкремент  $\gamma$  параметрического нарастания АВ меньше их частоты ( $\gamma \ll \omega$ ). В этом приближении параметрическая неустойчивость носит характер распада внешней поперечной электромагнитной волны (I) на АВ и другую поперечную волну с частотой  $\omega \pm \omega_0$  и волновым вектором  $\mathbf{k} \pm \mathbf{k}_0$ , которые связаны резонансным условием

$$c^2 k^2 = \pm 2c^2 (\mathbf{k}\mathbf{k}_0) \mp 2\omega_0 \omega. \quad (4)$$

По своему физическому смыслу такой распад весьма близок к вынужденному рассеянию Манделштама-Бриллюэна с той (существенной) разницей, что роль звуковых возмущений среды здесь играет АВ с вихревым, вообще говоря, полем, существующая лишь в магнитоактивной плазме. Два первых, старших слагаемых в правой части (3) описывают преимущественную поляризацию АВ вдоль вектора  $[\mathbf{h}[\bar{\mathbf{x}}\bar{\mathbf{h}}]] = \bar{\mathbf{x}} - \bar{\mathbf{h}}\cos\theta$  и, согласно уравнению (2), определяют спектр АВ

$$\omega = kv_{\mathbf{A}} |\cos\theta| \left(1 + \frac{v_{\mathbf{A}}^2}{c^2}\right)^{-1/2}, \quad (5)$$

возникающий из (2) при условии  $w(\mathbf{k}) \neq 0$  и в пренебрежении вкладом поля накачки в  $\xi_{1j}(\omega, \mathbf{k})$  (слабая связь). Соответственно, уравнение для инкремента параметрической раскачки АВ можно представить равенством  $(\bar{v}_{\mathbf{E}} = e\bar{\mathbf{E}}_0/m\omega_0)$

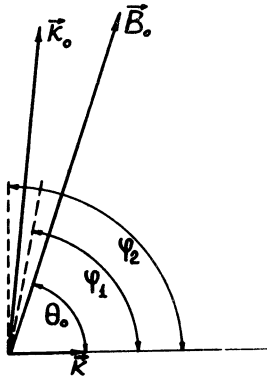
$$\begin{aligned} & \left\{ \gamma + \frac{1}{2} \left(1 + \frac{v_{\mathbf{A}}^2}{c^2}\right) \left[ \nu_1 + \nu_0 (\omega_{\mathbf{I1}}/\omega_{\mathbf{L0}})^2 \right] \right\} \left\{ \gamma + \nu_0 (\omega_{\mathbf{L0}}^2/2\omega_0^2) \right\} = \\ & = \frac{1}{16} (\omega_{\mathbf{I1}}^3/c^2\Omega_1) [\bar{v}_{\mathbf{E}}^2 - (\mathbf{k}\bar{v}_{\mathbf{E}})^2/k_0^2] \left(1 + \frac{v_{\mathbf{A}}^2}{c^2}\right)^{-1/2} \times \\ & \times \left\{ 1 - \left[ \sin^2\theta + 2(c^2k^2/\omega_{\mathbf{I1}}^2) \left(1 + \frac{v_{\mathbf{A}}^2}{c^2}\right)^{-1} (2 + \sin^2\theta) \right] \right\} \times \\ & \times \left[ \sin^4\theta + 4(c^2k^2/\omega_{\mathbf{I1}}^2) \left(1 + \frac{v_{\mathbf{A}}^2}{c^2}\right)^{-3} \cos^4\theta \right]^{-1/2} |\cos\theta\cos\varphi| \sin^2\theta. \quad (6) \end{aligned}$$

Здесь  $\Omega_1$  - ионная гироскопическая частота,  $e$  - заряд,  $m$  - масса электрона. Диссипация АВ определяется частотами столкновений электронов  $\nu_0$  и ионов  $\nu_1$  с нейтральными частицами. Подчеркнем, что уравнение (6) возникает из (2) с учетом поляризационных поправок в спектральной функции поля АВ, так как вклад в (6) двух первых, старших слагаемых в фигурной скобке (3) аномально мал.

Правая часть уравнения (6) зависит от угла  $\varphi$  между волновыми векторами  $\mathbf{k}$ ,  $\bar{\mathbf{k}}_0$ , величина которого близка к  $\pi/2$  из-за ограничений на частоты  $\omega \ll \Omega_1$ ,  $2\omega_0 \ll 2c^2/|\mathbf{k}\bar{\mathbf{k}}_0|$ :

$$(\nu_A/c) < |\pi/2 - \varphi| < (\omega_{L1}/2\omega_0). \quad (7)$$

В связи с этим, согласно (6), максимальное значение инкремента раскачки АВ достигается при следующем расположении волновых векторов и полей (см. рис. I): вектор напряженности электрического



Р и с. I. Взаимное расположение векторов  $\vec{k}$ ,  $\vec{k}_0$ ,  $\vec{B}_0$ , при котором инкремент раскачки альфеновских волн максимален (приближение слабой связи). Вектор  $\vec{B}_0$  поля накачки перпендикулярен плоскости чертежа, в которой лежат  $\vec{k}$ ,  $\vec{k}_0$ ,  $\vec{B}_0$ . Пунктиром ограничен сектор допустимых (см. (7)) направлений распространения ( $\varphi \approx \pi/2$ ) волны накачки  $\varphi_1 = \pi/2 - (\omega_{L1}/2\omega_0)$ ;  $\varphi_2 = \pi/2 - (\nu_A/c)$ ; угол  $\theta_0$  между  $\vec{k}$  и  $\vec{B}_0$  равен  $70^\circ$ .

поля накачки  $\vec{B}_0$  перпендикулярен плоскости  $\vec{k}$ ,  $\vec{k}_0$ ,  $\vec{B}_0$ , причем  $\vec{k}_0$  почти перпендикулярен  $\vec{k}$ , а угол  $\theta_0$  между  $\vec{k}$  и  $\vec{B}_0$

$$\theta_0 = \arccos \left[ (9 - \sqrt{57}/12)^{1/2} \right]$$

равен примерно  $70^\circ$ . Выявление такой оптимальной геометрии оказывается возможным благодаря учету конечной длины волны накачки и представляется нам характерным отличием развиваемой теории /15-18/ от теории параметрического возбуждения магнитоактивной плазмы однородным высокочастотным полем /19/.

Неустойчивость АВ возникает при превышении полем накачки порогового значения ( $E_{\text{пор}} \propto \nu_A^{1/2}$ )

$$E_{\text{пор}}^2 \approx 62,8 n_e m c \nu_A \left[ \nu_1 + \nu_0 (\omega_{L1}/\omega_{Le})^2 \right] (\nu_0/\omega_0^2) |\cos \varphi|^{-3}. \quad (8)$$

Вблизи над порогом ( $E_0 \gtrsim E_{\text{пор}}$ ) инкремент имеет вид

$$\gamma \approx 0,1 \left( \bar{\nu}_E^2 - \bar{\nu}_{E_{\text{пор}}}^2 \right) (\omega_0^2/c\nu_A) \left[ \nu_1 + \nu_0 (\omega_{L1}/\omega_{Le})^2 \right]^{-1} |\cos \varphi|^3. \quad (9)$$

Вдали над порогом ( $E_0 \gg E_{\text{пор}}$ ) из (6) получаем

$$\chi \approx 0,2\omega_0(\sqrt{\epsilon}/cv_A)^{1/2}|\cos\varphi|^{3/2}. \quad (10)$$

При этом инкремент (10) меньше частоты АВ, если поле  $E_0$  ниже критического:

$$E_{кр}^2 \approx 1,1 \cdot 10^3 N_0 \text{mc}v_A (v_A/c)^2 |\cos\varphi|^{-5}. \quad (11)$$

Отметим, что вдали над порогом  $E_0 \gg E_{пор}$  инкремент раскочки АВ в  $0,8|\cos\varphi|(\omega_0/\omega_{L1})$  раз меньше, чем инкремент (10) из /18/ для быстрых магнитозвуковых волн (БМВ); отношение порогового поля  $E_{пор}$  для параметрической раскочки АВ к пороговому полю (6) из /18/ составляет  $0,63|\cos\varphi|^{-1}(\omega_{L1}/\omega_0)$ . В соответствии с неравенствами (7) поля (8), (11) и инкремент (10) ограничены условиями

$$62,8N_0\text{mc}^4 \left[ \nu_1 + \nu_0(\omega_{L1}/\omega_{L0})^2 \right] (\nu_0/\omega_0^2 v_A^2) > E_{пор} > 4 \cdot 10^2 N_0 \text{mc}v_A \chi$$

$$\times \left[ \nu_1 + \nu_0(\omega_{L1}/\omega_{L0})^2 \right] (\nu_0 \omega_0 / \omega_{L1}^3),$$

$$1,1 \cdot 10^3 N_0 \text{mc}v_A (c/v_A)^3 > E_{кр}^2 > 3,5 \cdot 10^4 N_0 \text{mc}v_A (v_A^2 \omega_0^5 / c^2 \omega_{L1}^5),$$

$$0,1\omega_{L1}(\omega_{L1}\sqrt{\epsilon}/\omega_0 cv_A)^{1/2} > \chi > 0,2\omega_0/v_{\text{н}}|v_A/c^{-2}.$$

В отличие от параметрического возбуждения БМВ /18/, когда максимум инкремента достигался при  $[\vec{k}_0 \vec{\beta}_0] \approx 0$  и  $(\vec{k}\vec{\beta}_0) = 0$ , раскочка АВ оптимальна при угле  $\theta_0 \approx 70^\circ$  между  $\vec{k}$  и  $\vec{\beta}_0$ . В обоих случаях раскочка АВ и БМВ возможна лишь при почти ортогональных волновых векторах  $\vec{k}$  и  $\vec{k}_0$  ( $\vec{k}\vec{k}_0 \approx 0$ ).

В водородной плазме с параметрами  $(v_A/c) \sim 10^{-5}$ , (что выполнено, например, в плазме с плотностью электронов  $N_0 = 10^6 \text{ см}^{-3}$  и магнитным полем  $B_0 = 1,5 \cdot 10^{-6} N_0^{1/2} = 1,5 \cdot 10^{-3}$  гаусс)  $\cos\varphi \sim 10^{-4}$ ,  $\omega_{L0} \approx 0,1\omega_0$ ,  $\nu_0 = 10^7 \text{ сек}^{-1}$ ,  $\nu_1 = 10^3 \text{ сек}^{-1}$  пороговая напряженность (8) составляет  $E_{пор} \approx 0,03 \text{ в/м}$ .

Благодарим В. П. Слина за руководство и поддержку в работе.

Поступила в редакцию  
6 июля 1972 г.

## Л и т е р а т у р а

1. Д. М. Алнев, В. П. Сидкин. ЖЭТФ, 48, 901 (1965).
2. В. П. Сидкин. ЖЭТФ, 48, 1679 (1965).
3. В. П. Сидкин. ЖЭТФ, 57, 183 (1969).
4. В. П. Сидкин. УФН, 104, 677 (1971).
5. И. Р. Геккер, О. В. Смажкин. Письма в ЖЭТФ, 9, 408 (1969).
6. К. Ф. Сергейчев, В. Е. Трофимов. Письма в ЖЭТФ, 13, 236 (1971).
7. H. Dreiser, D. V. Henderson, J. C. Ingraham. Phys. Rev. Letts., 26, 1616 (1971).
8. Г. М. Батанов, К. А. Саркоян. Письма в ЖЭТФ, 13, 539 (1971).
9. W. F. Utlant. J. Geophys. Res., Space Physics, 75, 6402 (1970).
10. Г. М. Батанов, Л. М. Горбунов, К. А. Саркоян. Краткие сообщения по физике ФИАН, № 8, 60 (1971).
11. Р. А. Демirkanов, Г. Л. Хорасанов, И. К. Сидорова. Письма в ЖЭТФ, 6, 816 (1967).
12. Р. А. Демirkanов, Г. Л. Хорасанов, И. К. Сидорова. ЖЭТФ, 52, 1873 (1970).
13. H. P. Babank. Phys. Fluids, 14, 2551 (1971).
14. Л. М. Горбунов. ЖЭТФ, 55, 2298 (1968).
15. В. В. Пустовалов, А. Б. Романов. Препринт ФИАН, № 16 (1972).
16. В. В. Пустовалов, А. Б. Романов. ЖЭТФ, 62, 253 (1972).
17. В. В. Пустовалов, А. Б. Романов. ЖТФ, 42, 1648 (1972).
18. В. В. Пустовалов, А. Б. Романов. Краткие сообщения по физике ФИАН, № 4, 46 (1972).
19. Н. Е. Андреев. ЖТФ, 42, 233 (1972).